

熊本大学 正会員 中島重旗  
 熊本大学 神崎良久  
 熊本大学 学生員 O片藤敏彰  
 熊本大学 学生員 杉本克夫

1. はじめに 近年、水質汚濁は全国的な問題となつており、我が熊本の江津湖もその例外ではない。そこで、私たちは江津湖のうち下江津湖の水質調査を行い、その現状を把握し、T-P, T-N, SSをパラメーターとした富栄養化モデルについて検討するものである。

2. 概要 S57年から58年にかけて、江津湖の水質改善のため水路が新設され、中島の西対岸で護岸工事が行われた。これらが下江津湖の水質に与えた影響を、沈降係数、拡散係数により考察を試みる。

3. 富栄養化モデル 下江津湖は、電気伝導率、水温の水深方向変化がほとんどないことより、完全

混合單一層とみなし、2次元の流れとして考える。モデル解析においては、図1のように、下江津湖を7つのエレメントに分割し、シミュレーションを行ってゆく。

ある特定の物質が輸送されるとき、任意の区間容積を通過する物質収支の一般式を次のように与える。<sup>①</sup>

$$\nabla \frac{dC_i}{dt} = \sum (G_{ji} + E_{ji}) - S_i \quad \text{--- ①}$$

ここに、 $V_i$ : エレメント*i*内の液体の容積、 $dC_i/dt$ : エレメント*i*内の物質の濃度変化速度

$G_{ji}$ : エレメント*j*から*i*への移流による物質の輸送、 $E_{ji}$ :

エレメント*j*から*i*への拡散による物質の輸送、 $S_i$ : エレメント*i*内の物質の発生と消滅

移流項 $G_{ji}$ は次のように表される。

$$G_{ji} = Q_{ji}[\delta_{ji}C_j + (1 - \delta_{ji})C_i] \quad \text{--- ②}$$

ここに、 $Q_{ji}$ : エレメント*j*から*i*への流量 ( $m^3/h$ )

$\delta_{ji}$ : 境界における物質濃度を隣接エレメント内の平均濃度

で表すのに用いる比例定数で、0.5～1.0の値をとる。

拡散項 $E_{ji}$ は次のように表される。

$$E_{ji} = D_{ji}(C_j - C_i) \quad \text{--- ③}$$

ここに、 $D_{ji}$ : 拡散係数

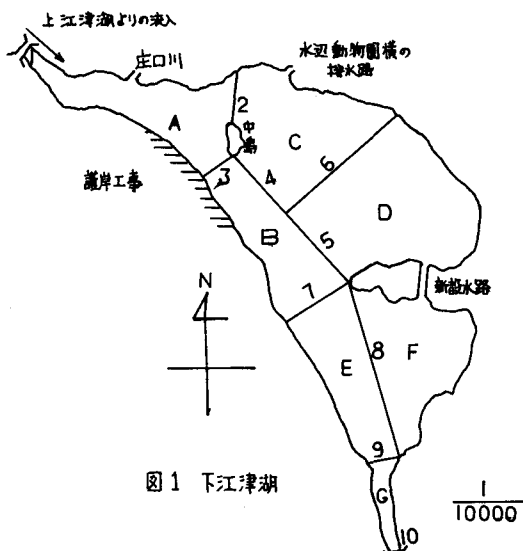
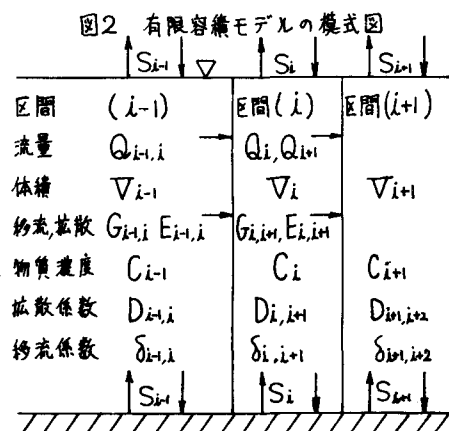


図1 下江津湖



この場合の拡散項は線形であるが、連續モデルにおいては、2次の現象を反映していることに注意すべきである。式②および③を式①に代入すると、

$$V \frac{dC_i}{dt} = \sum [Q_{ij} \{ \delta_{ij} C_j - (1 - \delta_{ij}) C_i \} + D_{ij} (C_j - C_i)] - S_i \quad \text{--- ④}$$

となり、有限容積の式である。定常状態であると考え、上式において  $\frac{dC_i}{dt} = 0$  とおく。

発生消滅項  $S_i$  は、SSに関して、発生項として考慮するものは、局所流入による増加および巻き上げによる増加とする。ここで、下江津湖は豊富な湧水による流量増加があるが、このことはエレメントにおける水の流入量、流出量の関係より明らかである。江津湖周辺の湧水にはSSが含まれていないので湖底からの湧水も同様とみなし、湧水によるSSの増加は考慮しない。

消滅項は沈降が主である。したがって  $\kappa_{ij}$  は、濃度  $C_i$  との積ではなく、面積  $A$ 、および粒径  $D$  の2乗に比例する。今回の下江津湖のSS中には有機物と無機物が混在していると考えられるので、次式の  $V_i k_{sj} C_i$  という形で表す。

浸透については浸透水中にSSは含まれないので考慮しない。以上のことより、発生消滅項  $S_i$  は次のようになる。

$$S_i = V_i k_{sj} C_i - g_i C_{ri} \quad \text{--- ⑤}$$

ここに、 $k_{sj}$ ：エレメント  $i$  内の沈降係数、 $C_i$ ：エレメント  $i$  内の平均汚濁物質濃度、 $C_{ri}$ ：局所流入、巻き上げ等による汚濁物質濃度、 $g_i$ ：流入河川の流量

以上のことより、有限容積モデルの一般式は次のようになる。

$$\left[ \sum_j \{ D_{ij} + Q_{ij} (1 - \delta_{ij}) \} + V_i k_{sj} \right] C_i + \sum_j (Q_{ij} \delta_{ij} - D_{ij}) C_i = g_i C_{ri} \quad \text{--- ⑥}$$

4. 現段階における考察 下江津湖内の水質分析の結果を表1、表2に示す。T-P、T-N濃度は、一般に湖の富栄養化の許容レベルであるT-P 0.02 mg/L、T-N 0.2 mg/Lの5倍以上の高い値を示している。SSの濃度は、14.8 mg/L以下であり、河川、湖沼の両方の水質環境基準<sup>2)</sup>によると、類型B型以上となる。水路新設前と新設後の拡散係数の変化を表3に示す。これによると、水路を囲む測線4、5、6、8は新設前に比べ、増加していることがわかった。これは湖沼的要素の強いエレメントD、Fでの水の循環が水路新設前よりもスムーズに行われるようになつたことを示す。しかし、その反面測線7での減少が著しい。

5. 今後の課題 (1) 消滅項は沈降物を実測して算定する。(2) この消滅項は沈殿以外の影響が含まれているので、式⑥の計算によって補正する。

(3) 沈降係数によって水路の影響を検討する。この結果を発表時に説明する。

#### (参考文献)

1) 中島重旗：土木技術者の陸水環境調査法 森北出版 1983年

2) 合田健：水質工学 基礎編 丸善 1975年

表1 T-P、T-N濃度

	T-P濃度 (mg/L)	T-N濃度 (mg/L)
上江津湖からの流入水	0.31	1.50
庄口川	0.22	1.65
湧水*	0.59	1.20
湧水	0.20	1.32
湖内の平均濃度	0.34	1.50

表2 SS濃度

	SS濃度 (mg/L)
庄口川	9.0
湧水*	14.8
湧水	0.0
浸透水	0.0
A	5.4
B	5.0
C	4.8
D	3.8
E	7.8
F	8.5
G	12.8

\* 水路新設前の測線の平均値

表3 拡散係数

測線	拡散係数 (m <sup>2</sup> /h)	端数 (%)
水路新設前	水路新設後	
2	4417	5816
3	2900	2752
4-5	2515	2815
6	1214	1366
7	3204	2099
8	1626	1740
9	18301	17750

○水路新設前との比較のため測線4と測線5を1つの測線として考えた。